

建設省土木研究所 宇多高明  
建設省土木研究所 古川博一  
建設省土木研究所 筒井保博

### 1. まえがき

海浜変形の問題を扱うに際しては、基本的にその海岸の平均断面形や移動限界水深を知る必要がある。ある海岸において平面的な深浅測量が1回行われた場合を考える。このとき沿岸方向のいくつかの測線において、海浜形状が比較的似た断面形を選び、適当な基準線をとって平均すれば平均断面形は一応定まる。しかしこの断面形はその海岸に実在するものとは異なる可能性がある。というよりは、汀線位置が基準線と常に平行とは限らず、汀線位置のずれは平均化操作に含まれてしまうからである。一方汀線位置を重ね合わせて平均する方法も考えられるが、この場合も冲合部に見かけ上の変動が生じてしまう可能性がある。本研究では平均海浜断面形を求める新しい考え方を明らかにする。まず、海浜の局所的海底勾配の鉛直分布を算出し、沿岸方向の対象区間の測線データを用いてその平均値を求める。次にこの平均海底勾配を鉛直方向に積分して平均形状とする。実例として駿河海岸のデータに対して適用したところ、この方法を用いればたゞ1回の平面的深浅測量データのみより移動限界水深や汀線変化モデルにおける地形変化の移動高の推定が可能なことが明らかになった。

### 2. 駿河海岸での代表的海浜断面形の変化

平均化法は現地海浜の深浅測量データを用いて具体的に説明する。具体例としては駿河海岸をとり上げる。図-1は駿河海岸の形状と測線配置を示す。駿河湾は湾口が南に向いている。このため駿河海岸においては南東からの入射波が卓越し、それにしたがい大井川河口の左岸側においては北東方向を向いた沿岸漂砂が卓越する。本研究では図-1に示された測線のうち、藤守川と吉永放水路とくわづ川の測線No.30よりNo.40のデータを用いて断面の平均化法について検討する。また比較のために大井川港南防波堤の南側に位置する測線No.48のデータも利用する。大井川港の南防波堤の南側では砂利採取が行われていたが、昭和53年に砂利採取が停止されるとともに防波堤の上手(南)側には大量の土砂が堆積した。図-2はこのときの海浜断面形状の変化を示したものである。図-2は昭和53年2月より57年2月まで4年間の断面形状の変化が示されている。昭和53年2月のものは特性が異なるので除外し、それ以外の測量データについて比較を行うと、これらは水深約6mより深い所では海浜形状がほぼ一致していることがわかる。一方陸上部ではTP.2mの高さまで地形変化が生じている。とくに昭和56年2月から57年2月までの変化はほぼ海浜断面形を平行移動したかのような特徴を有している。

### 3. 海浜断面の平均化法

海浜変形の問題を扱うに際しては、その海岸の平均断面特性を知る必要がある。深浅測量によって得られた深浅データより、汀線位置を基準にして海浜断面を重ね合わせて平均化を行えば一つの答が得られる。例としては図-3は駿河海岸の測線No.30からNo.42まで合計7本の測線において昭和57年2月に測量されたデータを用いて平均断面を定めたものである。実線は基準点(汀線位置)と

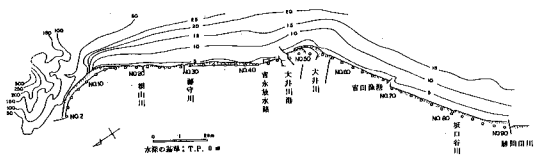


図-1 駿河海岸の測線配置図

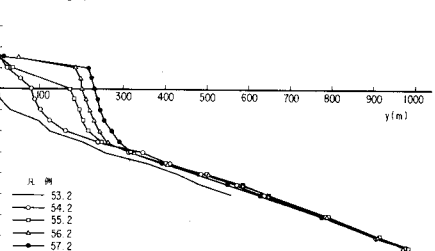


図-2 海浜断面形状の経年変化(測線No.48)

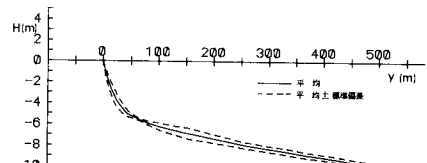


図-3 平均断面形状と標準偏差

り沖方向の各地点ごとに水深を平均して定めた平均形状であり、破線はそのときの標準偏差である。河線を基準に重ね合わせを行って、これにより沖合部においても標準偏差は相当大きい。このためこの図から図-2で明らかになつたような有意な地形変化が生ずる意味での移動限界水深を推定することは困難である。

そこで基準点からある距離に沿うる水深の平均を求めるのではない新しい方法について検討した。この方法はまず局所的海底勾配の鉛直分布を求め、沿岸方向の測量線のデータを用いてその平均値を求める。次にその平均値で局所的海底勾配を鉛直方向に積分することによつて平均断面形を求めるものである。実例を示す。図-4は、消波堤設置区間の測線No.30～No.36と、海岸堤防・根固工の設置されている測線No.38～No.42のデータを用いて局所的海底勾配の鉛直分布を求め、各水深ごとにその平均値を求めてしたものである。なお用いたデータは横断測線のデータであり、鉛直方向には1m間隔で勾配を定めた。また消波堤等がある場合はその下部の地形データを入力した。測線No.38～No.42の場合には平均値のみを示したが、No.30～No.36の場合については各水深ごとの標準偏差も示した。標準偏差は水深の増加とともに小さくなり、水深約6m以深では非常に変動が少なくなり、海底勾配はほとんど一定値を保つ。また海岸堤防・根固工のある場合、河線付近の勾配が相当急になつてゐる。

次に図-4で示された鉛直方向の局所的海底勾配を深さ方向に積分することによつて平均断面形状を定めたのが図-5である。この場合積分定数は平均断面の河線位置が原点となるように定めた。平均断面が定められたので、次に各測線の断面の重ね合わせ法を考えた。断面を重ね合わせる場合、その基準のとり方が問題となる。河線位置を合わせれば沖合部の変動が大きくなることは既に図-3で説明したとおりである。

ここでは図-4で明らかにしたように水深約6～10mの範囲で海底勾配の変動が小さくなることを利用する。すなわち図-5に示した平均断面形をもとに各測線の断面を岸冲方向に平行移動させ、水深6～10mでの水平方向の変位量の二乗和が最小となるようにして断面の位置を定め、図-5に示した。水深約6m以深では海底形状は重なり、また各測線の断面はあたかも1つの断面が時間的に変化したかのような特徴を持つことがわかる。これは図-2の特徴と良く一致する。図-2は測線で経年的に測定されたデータを示し、一方図-5は時間の深浅測量の異った測線のデータを示すものであるが、両者が良く似た特徴を持つ点は利用の価値がある。何故ならば、河線変化モデルにおける地形変化の代表高さや有意な地形変化の生ずる限界水深を、経時的に取られたデータの代りに1回の測量データのみから推定できることになるからである。例えば代表高さは見かけの断面積と河線変化量の相関より求められる。ただし代表高さの計算においては、陸上部の地形変化の限界は平均地上高とする必要があろう。最後に図-6はNo.38～No.42の区間の平均断面形を同様な方法により求めたものである。図-5と比較すると水深約5mまで非常に急勾配であり、またそこで海底勾配がやや不連続に変化していることがわかる。以上、平均化法について明らかにしておき、この方法は海底勾配が沿岸方向に大きく変化したり、バーがある場合には有効ではない。

#### 参考文献

- 1). 武内達夫・宇多高明・中島秀樹・青山春男：駿河海岸における海浜地形変化的解析、第31回海講論文集、pp.360～364、1984.

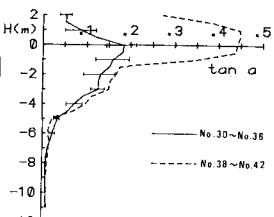


図-4 海底勾配の水深方向分布

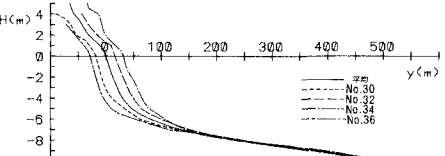


図-5 断面形状の重ね合わせ（測線 No.30～No.36）

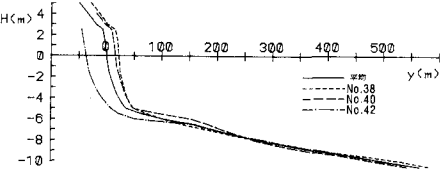


図-6 断面形状の重ね合わせ（測線 No.38～No.42）